

京都大学工学部 正会員 赤井浩一
 京都大学工学部 正会員 堀正幸
 京都大学大学院 学生員〇同 二三生

1. まえがき

従来、土の動的挙動を解析するにあたって、土の応力-ひずみ関係は線型の弾性体や粘弾性体で表現されてきた。しかししながら實際の土の減衰特性や動的せん断剛性はひずみレベルK依存しており、非線型な挙動を示すことがわかっている。したがって動的解析においてはこの非線型性を考慮する必要がある。次節の解析においては減衰特性が非線型くなっている。粘性土中ににおける応力波の減衰および波速Kについて考慮するためShock-tube K三軸装置を連結してその上用いて波動伝播実験を行ってきた⁽¹⁾。その結果、応力空間内において応力波の減衰を量的に議論できることがわかった。この実験結果を解析するため、すでに弾-粘塑性体を基礎にして粘性土の応力-ひずみ関係を粘性土中の波動伝播問題に適用することを報告しているが、本報告においては、適用するにあたって用いた仮定について検討を加えより一般性のあるものとした。特に動的問題をとりあつた場合、弾性ひずみの量は全ひずみの中でかなりの量をしめると考えられる、したがってこの点について考慮している。足立らは平衡時における粘性土の応力-ひずみ関係としてRoscoeらのoriginal Theoryを用い、Pergaynaの弾-粘塑性体の理論をつかって粘性土の動的応力-ひずみ関係を提案している⁽²⁾。本報告もこの理論を基礎としている。

2. 弾-粘塑性体による解析

応力-緩和試験における応力経路は最大主応力軸に平行な線上にあること、およびLöveの主張が示された瞬時に発生間げき水圧はせん断ひずみと一義的関係にあることが予想される。図-1は動的降伏曲面の決定手法を示すものである。ひずみを弾性ひずみと塑性ひずみの和でおるとすれば、厳密には真A_dと真A_sにおける粘塑性ひずみの量は等しくない。したがって動的降伏曲面を決定するため真A_dと粘塑性ひずみ量が等しい真を静的な応力パス上に求めることが必要となる。発生間げき水圧は全ひずみに依存すると考えられるから、発生間げき水圧も弾性ひずみに依存する間

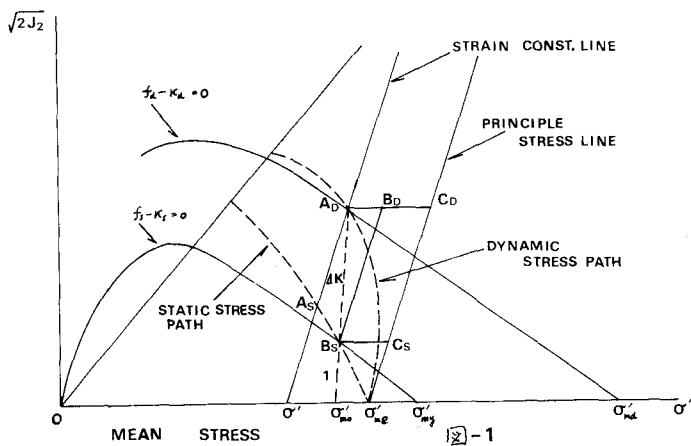


図-1

げき水圧と粘塑性ひずみに依存する間げき水圧に分けることができる。⁽³⁾

図-1で $\overline{A_d C_d}$ が真A_dにおける発生間げき水圧を表す。真A_dにおける弾性ひずみを $E_{(A_d)}$ 、塑性ひずみを $E_{(A_d)}^{pp}$ とすると、

$$E_{(A_d)} : E_{(A_d)}^{pp} = \overline{A_d B_d} : \overline{B_d C_d}$$

として真B_dを決定する。

次に $\overline{A_d B_d}$ ；弾性ひずみは初期の水圧 $B_d C_d$ ；塑性ひずみ $E_{(A_d)}$ における間げき水圧

より B_0 ガラ主応力軸に沿って平行におろした様と静的応力パスとの交差を成め、その差を B_S とする。したがって、粘塑性ひずみを硬化パラメータ k とすれば、より A_0 とより B_0 は同一のひずみ硬化を有すると考えられる。よって A_0 を通る動的降伏曲面は B_S を通る静的降伏曲面をより $(\alpha'_m, 0)$ に関して相似変換して求めることができる。静的降伏曲面は(1)式で与えられる。

$$f_d - k_s = \sqrt{2J_2} + M' \alpha'_m \ln(\alpha'_m / \alpha'_{my}) = 0 \quad (1)$$

したがって、動的降伏曲面は(2)式で与えられる。

$$f_d - k_s = \sqrt{2J_2} + M^*(\alpha'_m + \Delta k \alpha'_{mo}) \ln(\alpha'_m + \Delta k \alpha'_{mo}) / (\alpha'_m + \Delta k \alpha'_{mo}) = 0 \quad (2)$$

また、三次元の構成式は(3)式で与えられる。

$$\begin{aligned} \dot{\epsilon}_{ij} &= S_{ij} / 2G(e) + K/(1+e) \alpha'_m \delta_{ij} + \delta \langle \varphi(F) \rangle \{ (M - \sqrt{2J_2} / (\alpha'_m + \Delta k \alpha'_{mo})) \delta_{ij} \\ &\quad + S_{ij} / \sqrt{2J_2} \} \end{aligned} \quad (3)$$

ただし、 $F = \Delta k = (\sqrt{2J_2} - \sqrt{2J_2}) / \sqrt{2J_2}$, $\sqrt{2J_2} = \sqrt{S_{ij} \dot{\epsilon}_{ij}}$, $S_{ij} = \alpha'_m - \frac{1}{3} \alpha_{kk} \delta_{ij}$, $\alpha'_m = \frac{1}{3} \alpha_{kk}'$
 $M^* = (\sqrt{2J_2} / \alpha'_m)$ critical state

関数 $\varphi(F)$ は Yong & Japp の定ひずみ速度せん断試験の実験式を用いてあるとして

$$\varphi(F) = C'(\dot{\epsilon}_{ij}, \dot{\epsilon}_{ij}) \exp\{(\sqrt{2J_2} \dot{\epsilon}_{ij}) / \alpha(\dot{\epsilon}_{ij}) F\} \quad (4)$$

Shock-tube における波動伝播実験において、同じ応力レベルにおいても α'_m (充満圧力) が大きいほど減衰が小さいことから $\alpha(\dot{\epsilon}_{ij})$ を次のようくおくことができる。

$$\alpha(\dot{\epsilon}_{ij}) = \alpha'(\dot{\epsilon}_{ij}) \cdot \alpha'_{me} \quad (5)$$

以上より一次元の構成式は、非排水状態で(6)式となる。

$$\dot{\epsilon} = \frac{1}{3G} \dot{\alpha} + \delta \langle \alpha \varphi(F) \rangle \sqrt{\frac{2}{3}} \quad (6)$$

ただし $\dot{\alpha}$; 軸ひずみ, α ; 軸差応力

(6)式より一次元波動方程式は、

$$\frac{\partial^2 u}{\partial t^2} - \frac{E}{\rho} \frac{\partial^2 u}{\partial x^2} = \frac{E}{\rho} \frac{\partial}{\partial x} \left(\sqrt{\frac{2}{3}} \delta \langle \alpha \varphi(F) \rangle \right) \quad (7)$$

ただし ポアソン比を 0.5 として $E = 3G$, u ; 粒子速度

(7)式は準線形の偏微分方程式だから 特性曲線によって数値積分できる。(6)式において G は一般にひずみの関数であるが、ここでは一応波速から求めた弾性係数より求めた。(6)式は土粒子骨格と吸着水の系に対応するものであるから、解析にあたっては干渉水压の予測が必要となる。したがって本来、土粒子骨格、吸着水系と自由水系を同時に連立させて解く必要があるが、ここでは干渉水压が応力系のひずみの線形関数または他の関数をあてはめてみた。(7)式を数値積分して結果は当日発表する予定である。

(参考文献)

- 赤井、堀、岡 (1974) "Shock-tube における波動伝播に関する研究" 第9回土質工学研究発表会講演集 102
- 足立、安藤 (1973) "土質材料の動的降伏曲面について" 第8回土質工学研究発表会講演集 85
- 赤井、足立、安藤 (1974) "飽和粒土の応力-ひずみ-時間関係" 土木学会論文報告集 第225号 p.53 ~ p.61